

Starkniederschlagshöhen und -spenden gemäß KOSTRA-DWD-2020

Rasterfeld 202165

(Zeile 202, Spalte 165)

Regenspende und Bemessungsniederschlagswerte in Abhängigkeit von Wiederkehrzeit T und Dauerstufe D

| Dauerstufe D | | Wiederkehrzeit T | | | | | | | | | | | | | | | | | |
|--------------|-----|------------------|------------|-------|------------|-------|------------|-------|------------|-------|------------|-------|------------|-------|------------|-------|------------|-------|------------|
| | | 1 a | | 2 a | | 3 a | | 5 a | | 10 a | | 20 a | | 30 a | | 50 a | | 100 a | |
| min | Std | mm | l / (s ha) | mm | l / (s ha) | mm | l / (s ha) | mm | l / (s ha) | mm | l / (s ha) | mm | l / (s ha) | mm | l / (s ha) | mm | l / (s ha) | mm | l / (s ha) |
| 5 | | 7,4 | 246,7 | 8,9 | 296,7 | 9,8 | 326,7 | 11,1 | 370,0 | 12,8 | 426,7 | 14,6 | 486,7 | 15,8 | 526,7 | 17,4 | 580,0 | 19,6 | 653,3 |
| 10 | | 9,9 | 165,0 | 11,9 | 198,3 | 13,1 | 218,3 | 14,7 | 245,0 | 17,1 | 285,0 | 19,5 | 325,0 | 21,1 | 351,7 | 23,1 | 385,0 | 26,1 | 435,0 |
| 15 | | 11,5 | 127,8 | 13,8 | 153,3 | 15,2 | 168,9 | 17,1 | 190,0 | 19,8 | 220,0 | 22,6 | 251,1 | 24,5 | 272,2 | 26,9 | 298,9 | 30,3 | 336,7 |
| 20 | | 12,7 | 105,8 | 15,2 | 126,7 | 16,8 | 140,0 | 18,9 | 157,5 | 21,9 | 182,5 | 25,0 | 208,3 | 27,1 | 225,8 | 29,7 | 247,5 | 33,5 | 279,2 |
| 30 | | 14,5 | 80,6 | 17,4 | 96,7 | 19,3 | 107,2 | 21,7 | 120,6 | 25,1 | 139,4 | 28,6 | 158,9 | 31,0 | 172,2 | 34,0 | 188,9 | 38,4 | 213,3 |
| 45 | | 16,5 | 61,1 | 19,9 | 73,7 | 21,9 | 81,1 | 24,7 | 91,5 | 28,6 | 105,9 | 32,6 | 120,7 | 35,3 | 130,7 | 38,7 | 143,3 | 43,7 | 161,9 |
| 60 | 1 | 18,1 | 50,3 | 21,8 | 60,6 | 24,0 | 66,7 | 27,0 | 75,0 | 31,3 | 86,9 | 35,7 | 99,2 | 38,6 | 107,2 | 42,4 | 117,8 | 47,8 | 132,8 |
| 90 | 1,5 | 20,5 | 38,0 | 24,6 | 45,6 | 27,2 | 50,4 | 30,6 | 56,7 | 35,5 | 65,7 | 40,5 | 75,0 | 43,8 | 81,1 | 48,1 | 89,1 | 54,2 | 100,4 |
| 120 | 2 | 22,4 | 31,1 | 26,9 | 37,4 | 29,7 | 41,3 | 33,4 | 46,4 | 38,7 | 53,8 | 44,2 | 61,4 | 47,8 | 66,4 | 52,5 | 72,9 | 59,2 | 82,2 |
| 180 | 3 | 25,3 | 23,4 | 30,4 | 28,1 | 33,6 | 31,1 | 37,7 | 34,9 | 43,7 | 40,5 | 49,9 | 46,2 | 54,0 | 50,0 | 59,3 | 54,9 | 66,9 | 61,9 |
| 240 | 4 | 27,6 | 19,2 | 33,1 | 23,0 | 36,6 | 25,4 | 41,1 | 28,5 | 47,7 | 33,1 | 54,4 | 37,8 | 58,8 | 40,8 | 64,6 | 44,9 | 72,9 | 50,6 |
| 360 | 6 | 31,1 | 14,4 | 37,4 | 17,3 | 41,3 | 19,1 | 46,4 | 21,5 | 53,8 | 24,9 | 61,4 | 28,4 | 66,4 | 30,7 | 72,9 | 33,8 | 82,3 | 38,1 |
| 540 | 9 | 35,1 | 10,8 | 42,2 | 13,0 | 46,6 | 14,4 | 52,4 | 16,2 | 60,7 | 18,7 | 69,3 | 21,4 | 74,9 | 23,1 | 82,2 | 25,4 | 92,8 | 28,6 |
| 720 | 12 | 38,2 | 8,8 | 45,9 | 10,6 | 50,7 | 11,7 | 57,0 | 13,2 | 66,1 | 15,3 | 75,4 | 17,5 | 81,5 | 18,9 | 89,6 | 20,7 | 101,0 | 23,4 |
| 1080 | 18 | 43,1 | 6,7 | 51,8 | 8,0 | 57,2 | 8,8 | 64,3 | 9,9 | 74,5 | 11,5 | 85,0 | 13,1 | 91,9 | 14,2 | 101,0 | 15,6 | 113,9 | 17,6 |
| 1440 | 24 | 46,9 | 5,4 | 56,4 | 6,5 | 62,3 | 7,2 | 70,0 | 8,1 | 81,1 | 9,4 | 92,6 | 10,7 | 100,1 | 11,6 | 109,9 | 12,7 | 124,0 | 14,4 |
| 2880 | 48 | 57,5 | 3,3 | 69,2 | 4,0 | 76,4 | 4,4 | 85,9 | 5,0 | 99,5 | 5,8 | 113,6 | 6,6 | 122,8 | 7,1 | 134,9 | 7,8 | 152,2 | 8,8 |
| 4320 | 72 | 64,8 | 2,5 | 78,0 | 3,0 | 86,1 | 3,3 | 96,8 | 3,7 | 112,2 | 4,3 | 128,0 | 4,9 | 138,4 | 5,3 | 152,0 | 5,9 | 171,5 | 6,6 |
| 5760 | 96 | 70,6 | 2,0 | 84,9 | 2,5 | 93,7 | 2,7 | 105,4 | 3,0 | 122,1 | 3,5 | 139,4 | 4,0 | 150,7 | 4,4 | 165,5 | 4,8 | 186,7 | 5,4 |
| 7200 | 120 | 75,4 | 1,7 | 90,7 | 2,1 | 100,1 | 2,3 | 112,5 | 2,6 | 130,4 | 3,0 | 148,9 | 3,4 | 160,9 | 3,7 | 176,8 | 4,1 | 199,4 | 4,6 |
| 8640 | 144 | 79,6 | 1,5 | 95,7 | 1,8 | 105,6 | 2,0 | 118,7 | 2,3 | 137,6 | 2,7 | 157,1 | 3,0 | 169,8 | 3,3 | 186,5 | 3,6 | 210,5 | 4,1 |
| 10080 | 168 | 83,3 | 1,4 | 100,1 | 1,7 | 110,5 | 1,8 | 124,3 | 2,1 | 144,0 | 2,4 | 164,4 | 2,7 | 177,7 | 2,9 | 195,2 | 3,2 | 220,2 | 3,6 |

Starkniederschlagshöhen und -spenden gemäß KOSTRA-DWD-2020

Rasterfeld 202165

(Zeile 202, Spalte 165)

Örtliche Unsicherheiten in Abhängigkeit von Wiederkehrzeit T und Dauerstufe D

| Dauerstufe D | | Wiederkehrzeit T | | | | | | | | |
|--------------|-----|------------------|-----|-----|-----|------|------|------|------|-------|
| | | 1 a | 2 a | 3 a | 5 a | 10 a | 20 a | 30 a | 50 a | 100 a |
| min | Std | ± % | ± % | ± % | ± % | ± % | ± % | ± % | ± % | ± % |
| 5 | | 19 | 20 | 20 | 21 | 21 | 22 | 22 | 22 | 23 |
| 10 | | 22 | 23 | 24 | 24 | 25 | 26 | 26 | 26 | 27 |
| 15 | | 24 | 25 | 25 | 26 | 27 | 27 | 27 | 28 | 28 |
| 20 | | 24 | 25 | 26 | 26 | 27 | 28 | 28 | 28 | 29 |
| 30 | | 24 | 25 | 26 | 27 | 27 | 28 | 28 | 28 | 29 |
| 45 | | 24 | 25 | 26 | 26 | 27 | 27 | 28 | 28 | 28 |
| 60 | 1 | 23 | 24 | 25 | 25 | 26 | 27 | 27 | 27 | 28 |
| 90 | 1,5 | 22 | 23 | 24 | 24 | 25 | 25 | 26 | 26 | 27 |
| 120 | 2 | 21 | 22 | 23 | 23 | 24 | 24 | 25 | 25 | 26 |
| 180 | 3 | 20 | 21 | 21 | 22 | 22 | 23 | 23 | 24 | 24 |
| 240 | 4 | 19 | 20 | 20 | 21 | 21 | 22 | 22 | 23 | 23 |
| 360 | 6 | 18 | 19 | 19 | 20 | 20 | 21 | 21 | 21 | 22 |
| 540 | 9 | 17 | 18 | 18 | 18 | 19 | 20 | 20 | 20 | 21 |
| 720 | 12 | 16 | 17 | 17 | 18 | 18 | 19 | 19 | 19 | 20 |
| 1080 | 18 | 16 | 17 | 17 | 17 | 18 | 18 | 18 | 19 | 19 |
| 1440 | 24 | 16 | 17 | 17 | 17 | 18 | 18 | 18 | 18 | 19 |
| 2880 | 48 | 18 | 18 | 18 | 18 | 18 | 18 | 19 | 19 | 19 |
| 4320 | 72 | 19 | 19 | 19 | 19 | 19 | 19 | 19 | 19 | 20 |
| 5760 | 96 | 21 | 20 | 20 | 20 | 20 | 20 | 20 | 20 | 20 |
| 7200 | 120 | 22 | 21 | 21 | 21 | 21 | 21 | 21 | 21 | 21 |
| 8640 | 144 | 23 | 22 | 22 | 22 | 22 | 22 | 22 | 22 | 22 |
| 10080 | 168 | 23 | 23 | 23 | 23 | 22 | 22 | 22 | 22 | 23 |

Parameter für abweichende T und D

Lokationsparameter ξ (Xi)

18,40178191

Skalenparameter α (Alpha)

5,17856869

Formparameter κ (Kappa)

-0,1

1. Koutsoyiannis-Parameter θ (Theta)

0,02379564

2. Koutsoyiannis-Parameter η (Eta)

0,70527384

Parameter für dauerstufenübergreifende Extremwertschätzung nach KOUTSOYIANNIS et al. 1998.

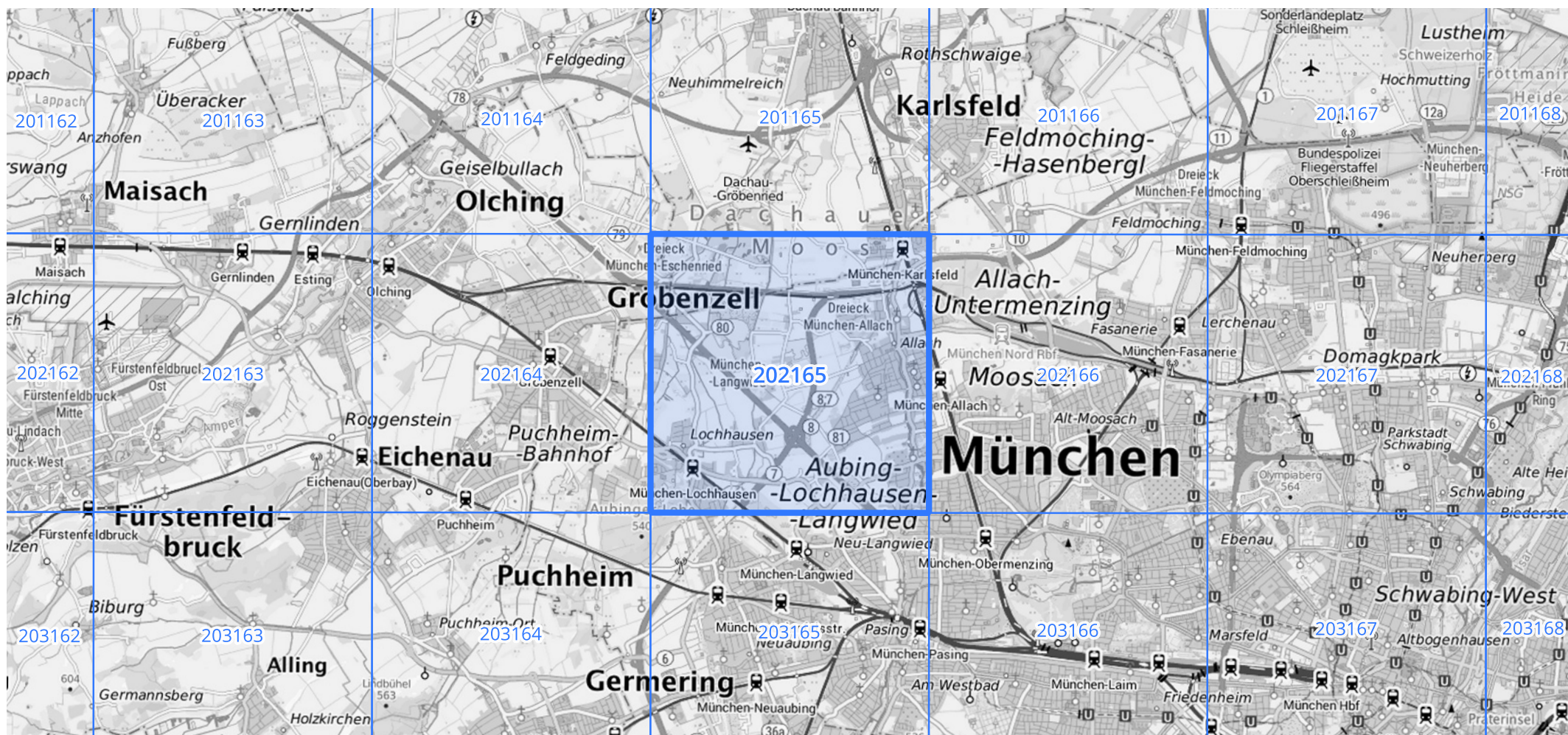
Siehe auch Anwendungshilfe zu KOSTRA-DWD-2020 des Deutschen Wetterdienstes.

Starkniederschlagshöhen und -spenden gemäß KOSTRA-DWD-2020

Rasterfeld 202165

(Zeile 202, Spalte 165)

Übersichtskarte des Rasterfeldes 202165, M 1 : 100 000



Quelle Rasterdaten: KOSTRA-DWD-2020 des Deutschen Wetterdienstes, Stand 12/2022.

Seite 3 von 3

Kartendarstellung: © Bundesamt für Kartographie und Geodäsie (2023), Datenquellen: https://sgx.geodatenzentrum.de/web_public/gdz/datenquellen/Datenquellen_TopPlusOpen.html

Für die Richtigkeit und Aktualität der Angaben wird keine Gewähr übernommen. Erstellt 01/2023.